

بررسی خواص ساختاری و مغناطیسی نانوذرات فریت بیسموت با جانشانی دوگانه لانتانیوم و باریم

مرضیه رضایی، داود ثانوی خشنود*، المیرا دهقان

دانشکده فیزیک، دانشگاه سمنان، سمنان، ایران

(دریافت مقاله: ۹۴/۱۰/۷، نسخه نهایی: ۹۴/۱۱/۲۶)

چکیده: در این پژوهش نانو ذرات $\text{Bi}_{1-x-y}\text{Ba}_x\text{La}_y\text{FeO}_3$ (BB_yL_xFO) با مقادیر $x = 0.05, 0.1, 0.15$ و $y = 0.0, 0.05, 0.1$ به روش سل-ژل سنتز شده‌اند. ویژگی‌های ساختاری، میکروساختاری و مغناطیسی این نانو ذرات به ترتیب توسط پراش پرتو ایکس (XRD)، میکروسکوپ الکترونی نشرمیدان (FE-SEM)، طیف سنجی تبدیل فوریه (FTIR) و مغناطش سنجی نمونه نوسانی (VSM) در دمای اتاق مورد بررسی قرار گرفته است. برآش الگوی پراش پرتو ایکس این ترکیبات نشان داد که یک گذار ساختاری از فاز لوزی رخ به فاز هم زیست لوزی رخ-چهارگوشی در این ترکیب‌ها رخ داده است. همچنین با برآش انجام شده ثابت‌های شبکه و حجم یاخته یکه این ترکیب‌ها تعیین شد. علاوه بر این، آنالیز FTIR، ساختار پروسکایت این ترکیبات را نیز تایید می‌کند. تصویرهای FE-SEM نشان می‌دهد که با افزایش غلظت لانتانیوم اندازه‌ی نانوذرات کاهش یافته است. حلقه‌ی پسماند نانوبودرهای BB_yL_xFO رفتار فرومغناطیسی از خود نشان می‌دهند که می‌تواند بخارتر از بین رفتان ساختار اسپین چرخان در اثر جانشانی باریم و لانتانیوم باشد. به علاوه مقدار مغناطش باقی مانده‌ی ترکیب $M_r = 1,166 \text{ emu/g}$ ، $BB_{0.15}L_0\text{FO}$ ($M_r = 514 \text{ emu/g}$) نسبت به ترکیب $BB_{0.15}L_{0.1}\text{FO}$ تقریباً دو و نیم برابر شده است. افزایش خواص مغناطیسی در دمای اتاق می‌تواند نقش مهمی در کاربردهای عملی این ترکیبات ایفاء کند.

واژه‌های کلیدی: فریت بیسموت، سل-ژل، مغناطش، نانو ذرات.

میدان مغناطیسی، قطبیده و با اعمال میدان الکتریکی، مغناطیسیده شوند. تعداد موادی که این خاصیت جفت شدگی (مگنتوالکتریک) را از خود نشان می‌دهند محدود است. این مواد به دلیل ویژگی‌های فیزیکی جالب، دارای گستره‌گسترده‌ای از کاربردها در تجهیزات تشحیید فرومغناطیسی، ذخیره‌ی اطلاعات، گیرنده‌ها، حافظه‌های مگنتوالکتریک و ... هستند [۵]. بررسی‌ها نشان می‌دهد که این خاصیت را می‌توان در ساختار بلوری پروسکایت با فرمول شیمیایی ABO_3 یافت. فریت بیسموت (BiFeO_3) با ساختار لوزی رخ و گروه فضایی $R\bar{3}c$ یکی از مهمترین مواد مولتی‌فروئیک است که در دهه‌های اخیر، به طور گستردۀ مورد بررسی قرار گرفته است. بررسی BiFeO_3

مقدمه

مولتی فروئیک‌ها اولین بار توسط هانس اشمید در سال ۱۹۹۴ مورد بررسی قرار گرفتند [۱، ۲]. مولتی فروئیک حداقل با داشتن دو خاصیت فروئی همزمان مانند فرووالکتریک (پاد فرووالکتریک) و فرو مغناطیس (پاد فرو مغناطیس) در یک فاز توجه بسیار زیادی را به خود جلب کرده اند [۳، ۴]. از نظر فیزیکی، همزیستی همزمان دو نظام فرووالکتریکی و فرومغناطیسی در تنافق هستند. به عبارتی نظام فرووالکتریکی به مدارهای d خالی کاتیون‌ها وابسته است، در حالی که رفتار فرومغناطیس به مدارهای d نیمه پر آن‌ها، وابسته است. از طرف دیگر این امکان دارد که مواد مولتی فروئیک با اعمال

نیترات بیسموت $\text{Bi}(\text{NO}_3)_3 \cdot 5\text{H}_2\text{O}$ بر اساس عنصرستنجی مناسب (نسبت مولی معین) در ۵۰ میلی لیتر آب حل شدند (جدول ۱). در فرایند انحلال از اتیلن گلیکول و اسید سیتریک ($\text{C}_6\text{H}_8\text{O}_7$) به ترتیب به عنوان عامل پلیمرساز و همبافت‌ساز استفاده شد. این محلول زرد رنگ در بازه ۴۰ تا ۵۰ درجه سانتیگراد برای پیشگیری از رسوب و ایجاد یک محلول همگن به مدت چند ساعت همزده شد. سپس با اضافه کردن آمونیاک pH محلول در ۳ تنظیم شد. در ادامه نخست محلول به حالت کلئوئیدی در آمده و سپس ژل تشیکل شد. ژل حاصل به مدت ۴۸ ساعت در دمای ۱۲۰ درجه سانتیگراد خشک شده و در نتیجه آب و گازهای NO_2 و CO_2 از ژل خارج و پیوندهای اولیه تشکیل شده و ماده‌ی اصلی حاصل می‌شود. در نهایت برای تشکیل ترکیب موردنظر و از بین بردن تمام ناخالصی‌های محصول با اسید نیتریک رقیق شده شستشو داده شد و به مدت ۲ ساعت در دمای ۶۵ درجه سانتی‌گراد کلسینه شد.

برای بررسی‌های ساختاری، نانوپودرهای تولید شده از پراش‌سنج پرتو ایکس (XRD) (Bruker D8 Advance) و تابش تکفام $\text{Cu-K}\alpha$ (~ ۱.۵۴۰۶ Å) در گستره ۲۰ بین ۱۰ تا ۸۰ درجه و با گام‌های ۰،۰۵ درجه در دمای اتاق استفاده شد. برای تحلیل سرشت ساختار الگوی پراش پرتو X نمونه‌ها، فازهای ناخالصی و Fullprof محاسبه پارامترهای شبکه‌ای از نرم افزار Xpert و Fullprof استفاده شد. اندازه‌ی و ریخت‌شناسی نانوذرات به وسیله یک میکروسکوپ الکترونی روبشی LEO 912 AB, Carl Zeiss EDS (SMT, Germany, 120 kV) و با اشکارساز Oxford Instruments England (Oxford Instruments England) مورد بررسی قرار گرفت. از طرف دیگر به منظور تأیید تشکیل ساختار پروسکایت، بررسی طیف سنجی تبدیل فوریه FT-IR به وسیله‌ی FT-IR (SHIMADZU) انجام گرفت. در پایان خواص مغناطیسی این نانوپودرها از مغناطیس سنج ارتعاشی (VSM) و با مشخصات (Lakeshore-7400) در دمای اتاق استفاده شد.

بررسی‌های ساختاری

در این پژوهش نخست با استفاده از نرم افزار Xpert، به شناسایی فازهای ناخالص احتمالی موجود در نمونه‌ها پرداخته شد. در ادامه با استفاده از نرم افزار Fullprof و روش ریتولد محاسبات ساختاری بررسی شدند. روش ریتولد یک روش ریاضی در بدست آوردن الگوی XRD، شبیه سازی شده بر اساس الگوی XRD تجربی نمونه و ساختار بلورشناسی ماده است. اساس کار این روش کمینه کردن اختلاف مربعات الگوی

به عنوان یک مولتی فروئیک از سال ۱۹۶۰ توسط اسمولینسکی شروع شد و در سال ۲۰۰۳ ویژگی غیرمنتظره‌ی الکتریکی و مغناطیسی آن در نمونه‌ی لایه نازک گزارش شد [۶]. این ماده بالاتر از دمای اتاق دارای فاز فروالکتریک با دمای کوری $T_C = ۱۱۰\text{K}$ و فاز پادفرومغناطیس نوع G با دمای نیل $K = ۶۴۳\text{ K}$ به طور همزمان هست. با وجود برتری‌هایی که برای این ماده اشاره شد، دو مشکل اساسی بر بودن نشت جریان بالاست که اندازه‌گیری خاصیت فروالکتریکی نمونه‌ها را به دلیل پایین بودن مقاومت با مشکل مواجه می‌کند. دومین مشکل ناشی از ساختار اسپین چرخان فاز پادفرومغناطیس با طول موج ۶۲ نانومتر است که، این منجر به صفرشدن مغناطش کل در این ساختار می‌شود و علت اصلی در ناکارآمدی این نمونه در برنامه‌های کاربردی است [۷]. از این رو بسیاری از پژوهش‌های در زمینه‌ی بالا بردن خواص مغناطیسی این ترکیب انجام شده است.

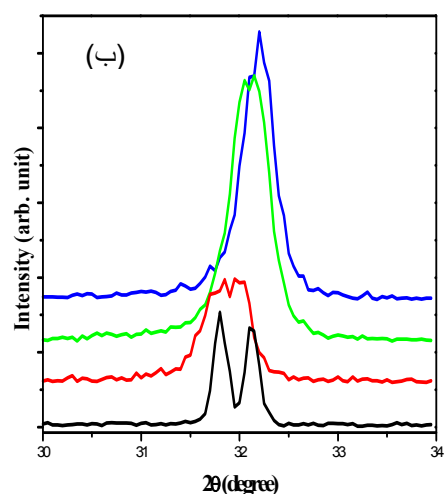
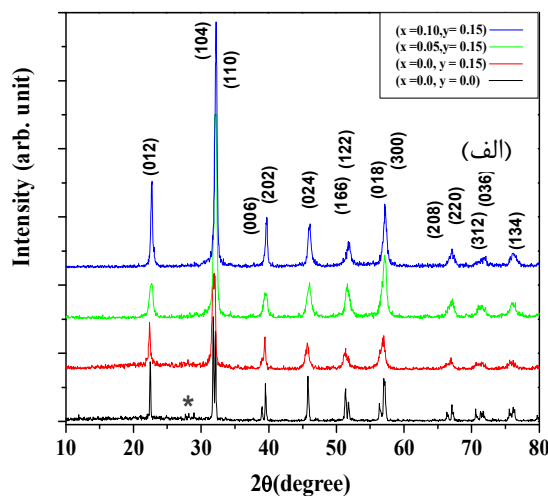
یکی از راه حل‌های رفع این مشکل، جانشانی یون‌های خاکی نادر نظیر (La, Ho, Er,) و یون‌های قلیایی خاکی نظیر (Ba,Ca,...) به جای بیسموت و یون‌های فلزات واسطه مانند (Mn, Co, Cr,) به جای آهن است [۸]. در سال‌های اخیر جانشانی یون Ba^{+2} به جای یون بیسموت موفقیت آمیز بوده و باعث بروز رفتار فرومغناطیسی در فریت بیسموت شده است [۹]. در پژوهش‌های قبلی بهبود خواص مغناطیسی در ترکیبات $\text{Bi}_{1-y}\text{Ba}_y\text{FeO}_3$ به ازای $y = ۰,۱۵$ ، گزارش شده است [۱۱]. در این پژوهش برای بهبود بیشتر خواص مغناطیسی، یون خاکی نادر La^{+3} علاوه بر یون Ba^{+2} به جای یون بیسموت در فریت بیسموت جانشین شده است، که تاکنون مورد بررسی قرار نگرفته است. بدین منظور ویژگی‌های ساختاری، میکروساختاری و مغناطیسی نانوذرات $\text{Bi}_{1-x-y}\text{Ba}_x\text{La}_y\text{FeO}_3$ (BB_yL_yFO) با مقادیر $x = ۰,۰۵$ و $y = ۰,۱۵$ ، مورد بررسی قرار گرفته است.

روش کار

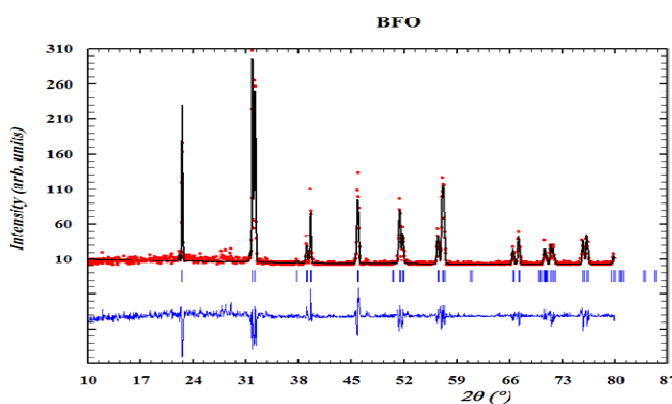
روش‌های متنوعی برای ساخت و آماده کردن نانو ذرات وجود دارد که از جمله‌ی آنها محلول جامد، گرماب، سل-ژل، آلیاژ ساز مکانیکی و...؛ که در این برنامه، نانوذرات $\text{Bi}_{1-x-y}\text{Ba}_x\text{La}_y\text{FeO}_3$ به روش سل-ژل ساخته شده‌اند. برای ساخت، مواد اولیه شامل نیترات آهن $\text{Fe}(\text{NO}_3)_3 \cdot 9\text{H}_2\text{O}$ ، نیترات باریم $\text{Ba}(\text{NO}_3)_2 \cdot 6\text{H}_2\text{O}$ ، نیترات لانتانیوم $\text{La}(\text{NO}_3)_3 \cdot 6\text{H}_2\text{O}$ و

همچنین همهی قلهایی که به صورت ۲ شاخه و یا ۳ شاخه بودند در حال ادغام در یک قله هستند. این می‌تواند نشان دهندهی انتقال فاز از ساختار لوزی رخ به چهار گوشی باشد که این نتیجه با گزارشات قبلی همخوانی خوبی دارد [۱۱]. در ادامه با جانشانی لانتانیوم در $BB_{0.15}L_0FO$ مشخص می‌شود که قلهای نسبت به حالت عاری از لانتانیوم به سمت زوایایی بزرگتر جایه‌جا شده‌اند. این جایه‌جایی در تمام قلهای مشاهده می‌شود و به عنوان نمونه در قلهی شاخص نمایش داده شده است. از آنجایی که شعاع یونی لانتانیوم و بیسموت تقریباً با هم برابر است، تغییرات زیادی در الگوی پراش پرتو ایکس آن‌ها ایجاد نشده است [۱۲]. در ادامه با استفاده از داده‌های خروجی نرم افزار Fullprof و پس از برآش مناسب، پارامترهای شبکه، حجم سلول واحد و نیم پهنه‌ای بیشینه این ترکیبات به دست آمدند. برای برآش ترکیب BFO از ساختار لوزی رخ با گروه فضایی $R\bar{3}c$ استفاده شد (شکل ۲). از طرف دیگر برای برآش ترکیب $Bi_2Fe_4O_9$ در ترکیب $Bi_2Fe_4O_9$ بنابر کارت استاندارد (JCPDS) (card No=74-1098) مشاهده شده که با علامت (x) در شکل ۱ نمایش داده شده است. در آغاز برای بررسی اثر یون Ba^{+2} به جای یون Bi^{+3} ، به طوری که در شکل ۱ مشاهده می‌شود، بر روی قله غالب در گستره‌ی $2\theta \leq 33 \leq 31 \leq 2\theta \leq 20$ تمرکز یافته است. تصویر بزرگنمایی شده به خوبی نشان می‌دهد که قلهای (۱۰۴) و (۱۱۰) به مقدار کمی به سمت زوایایی کوچکتر جا گذاشتند. بنابراین بنابر قانون برآگ، ثابت‌های شبکه افزایش یافته‌اند. انسپاٹ شبکه می‌تواند به بزرگتر بودن شعاع یونی باریم (r_{Ba} = ۱/۴۹ Å) نسبت به شعاع یونی بیسموت باریم (r_{Bi} = ۱/۱۷ Å) نسبت داده شود.

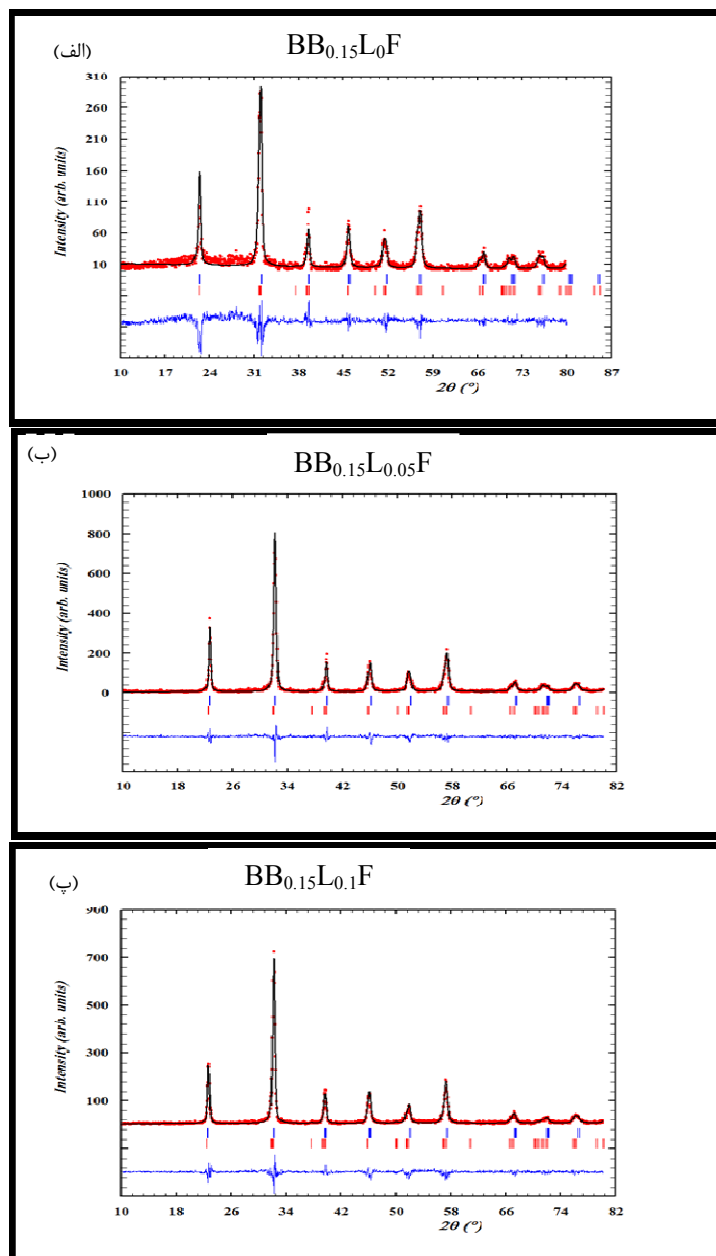
$$D = \frac{KA}{\sin^2 \theta_B} \quad K \sim 1 \quad (1)$$



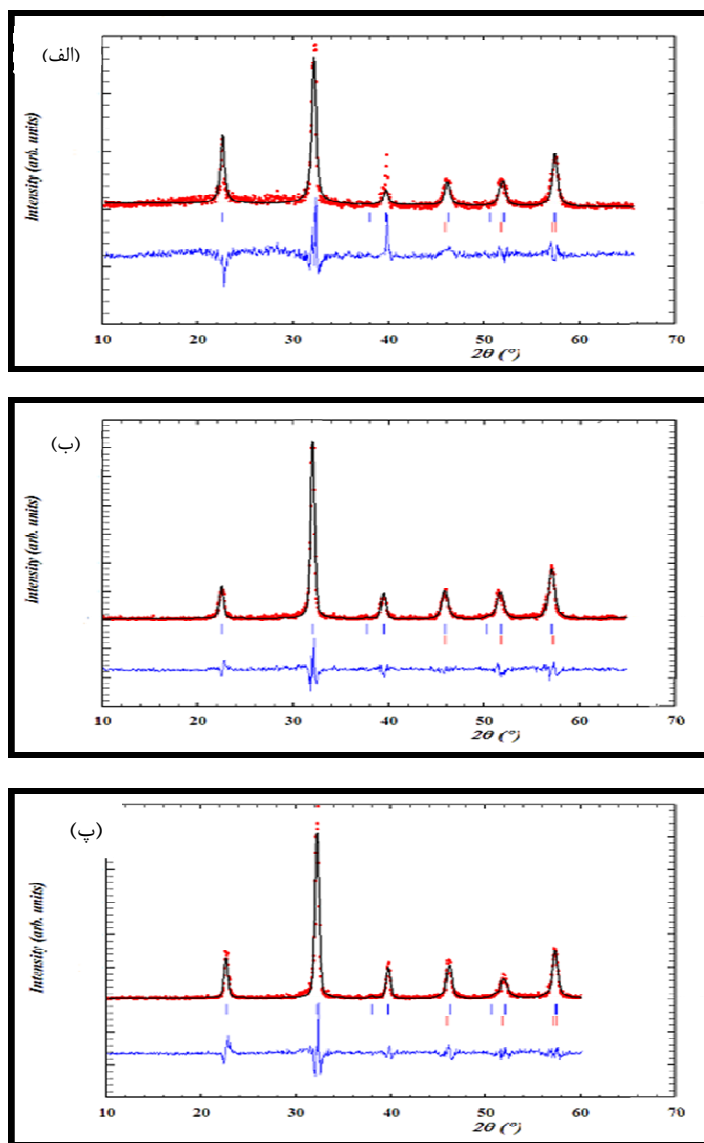
شکل ۱ الگوی پراش پرتو ایکس نانوذرات BB_yL_xFO در دمای اتاق. (الف) طیف در گستره‌ی زوایایی $2\theta \leq 80 \leq 2\theta \leq 20$. (ب) بزرگنمایی طیف و جایه‌جایی قله به سمت زوایایی بزرگتر در $2\theta \leq 33 \leq 2\theta \leq 31 \leq 2\theta \leq 20$.



شکل ۲ برازش نمودار پراش پرتو ایکس نمونه‌ی BFO با نرم افزار Fullprof در گروه فضایی R3c.



شکل ۳ برازش نمودار پراش پرتو ایکس نمونه‌ی $\text{BB}_y\text{L}_x\text{FO}$ بوسیله‌ی نرم افزار Fullprof در گروه فضایی R3c+P4mm.



شکل ۴ برازش نمودار پراش پرتو ایکس نمونه‌ی $\text{Ba}_y\text{L}_x\text{FO}$ در گروه فضایی $\text{R}3\text{c}+\text{I}4\text{cm}$ (الف) ($y = 0, 15, x = 0, 10$)، (ب) ($y = 0, 15, x = 0, 05$) و (ج) ($y = 0, 15, x = 0, 05$) به وسیلهٔ نرم افزار Fullprof

جدول ۱ استوکیومتری و مقدار مواد اولیه در هر کدام از نمونه‌ها

X	$x=0,00$	$x=0,00$	$x=0,05$	$x=0,10$
Y	$0,00, y=$	$y=0,15$	$y=0,15$	$y=0,15$
(گرم) $\text{La}(\text{NO}_3)_3 \cdot 6\text{H}_2\text{O}$	-----	-----	۰,۲۲۱۵	۰,۴۴۳۰
(گرم) $\text{Bi}(\text{NO}_3)_3 \cdot 5\text{H}_2\text{O}$	۴,۸۵۰,۵	۴,۱۲۳۰	۳,۸۸۰,۵	۳,۶۳۸۰
(گرم) $\text{Fe}(\text{NO}_3)_3 \cdot 9\text{H}_2\text{O}$	۰,۴,۴	۴,۰,۴	۰,۴,۴	۰,۴,۴
(گرم) $\text{Ba}(\text{NO}_3)_2$	-----	۳۹۲۰,۰	۳۹۲۰,۰	۳۹۲۰,۰
اسید سیتریک (گرم)	۲۰۲,۴	۲۰۲,۴	۲۰۲,۴	۲۰۲,۴
اتیلن گلیکول (سی سی)	۹۶۵۶,۴	۹۶۵۶,۴	۹۶۵۶,۴	۹۶۵۶,۴

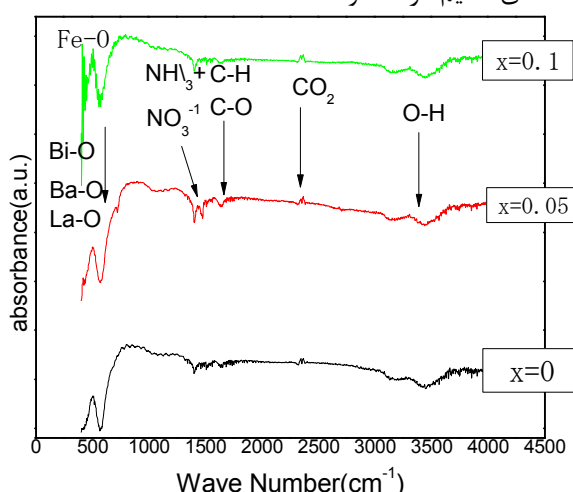
ی عدهای موجی (1350 cm^{-1} - 1000 cm^{-1}) و (1450 cm^{-1}) از سرشتی‌های C-O و C-H هستند. قلهای نشان‌دهنده‌ی NH_3^+ در منحنی FT-IR در گسترده‌ی نواری (cm^{-1} - 1000 - 800) مشاهده می‌شوند، همچنین قله پهن و ملایم موجود در حدود عدد موج (3425 cm^{-1}) به حضور آب در نمونه مربوط است و پیوند O-H را نشان می‌دهد. عمق قلهای نیز نشان‌دهنده‌ی میزان وجود پیوندهای یادشده در ترکیب است. به همین دلیل می‌توان گفت که سهم بیشتر پیوندهای موجود در این ترکیب به پیوندهای اصلی ساختار پروسکایتی فربت بیسوموت اختصاص دارد [۱۵، ۱۶].

بررسی میکروسکوپ الکترونی نشر میدان تصاویر FE-SEM برای بررسی ریخت‌شناسی ذرات و تشخیص ابعاد دانه‌ها، مورد استفاده قرار می‌گیرند. این تصاویر نتایج حاصل از پهن‌شدگی قلهای برآگ را تأیید می‌کنند. تصاویر FE-SEM نانوپودرهای $\text{BB}_y\text{L}_x\text{FO}$ در شکل ۶ دیده می‌شوند. اندازه‌ی دانه‌ها به کمتر از 40 nm نانومتر رسیده است که با اندازه‌ی بلورک‌های محاسبه شده از رابطه دبای-شر که در جدول‌های ۲ و ۳ آورده شد همخوانی دارد. این اندازه برای دانه‌ها از آن جهت مناسب به نظر می‌رسد که می‌تواند ساختار اسپین چرخان در فربت بیسوموت را لغو و از تکمیل آن جلوگیری کند. کوچک شدن ابعاد دانه‌ها می‌تواند به دلیل استفاده از روش سل-ژل برای تولید نانو ذرات و پایین بودن دمای کلسینی شدن در فرایند سنتر باشد. از طرف دیگر دانه‌ها تقریباً توزیع یکنواختی دارند که این خود نشان‌دهنده خلوص بالای مواد است.

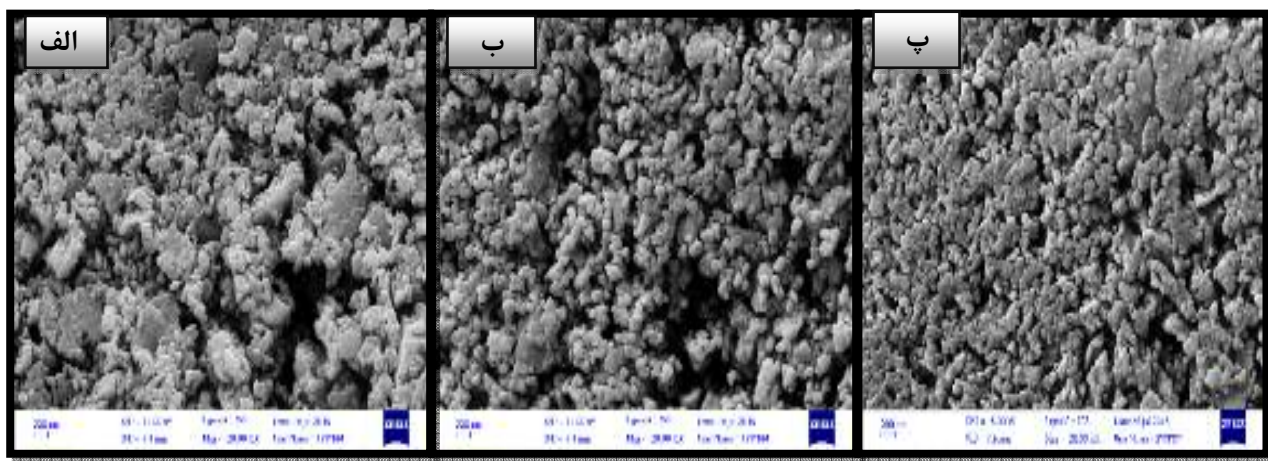
چنانکه مشاهده می‌شود، ثابت‌های شبکه با جانشانی باریم در ساختار BiFeO_3 بزرگ‌تر شده است و چنانکه در بالا اشاره شد، به خاطر بزرگ‌تر بودن شعاع یونی باریم نسبت به بیسوموت است، با جانشانی مضاعف لانتانیوم به خاطر شعاع یونی تقریباً نزدیک به بیسوموت تغییرات زیادی مشاهده نشده است. میانگین اندازه‌ی ذرات محاسبه شده با افزایش میزان لانتانیوم کاهش می‌یابد که ممکن است به دلیل کاهش پیدایش فازهای ثانویه، در سطح و یا در درون ذرات باشد. به پیروی از کاهش تشکیل فازهای ثانویه، میزان تهی جاهای اکسیژنی نیز کم شده و این خود می‌تواند دلیل محکمی در کاهش اندازه‌ی ذرات باشد. باید یادآور شد که افزایش میزان لانتانیوم رخ می‌دهد را می‌توان از دیگر دلایل کاهش اندازه‌ی ذرات دانست [۱۴].

آنالیز تبدیل فوریه‌ی فروسرخ

آنالیز FT-IR می‌تواند تأییدی برای ساختار پروسکایت نمونه‌ها باشد. طیف FT-IR برای نانو ذرات $\text{BB}_y\text{L}_x\text{FO}$ در دمای اتاق در شکل ۵ نشان داده شد. در طیف ترکیبات با ساختار پروسکایتی، همواره قلهای تیز در محدوده بین 400 cm^{-1} - 700 cm^{-1} مشاهده می‌شوند، که این قلهای به پیوندهای مربوط در اکسیدهای فلزی مربوط می‌شوند، و به علت سنگینی پیوندها عموماً در گسترده‌ی ابرزی‌های بالا (طول موج کوتاه) مشاهده می‌شوند. یکی از این پیوندها، پیوند کششی پادمتقارن و پیوند خمشی Fe-O (600 cm^{-1} - 400 cm^{-1}) است که از مشخصات گروههای FeO_6 در سیستم‌های پروسکایتی است. پیوندهای Ba-O و پیوند کششی Bi-O و La-O به این ناحیه مربوط می‌شود. قلهای ملایم در محدوده-



شکل ۵ طیف تبدیل فوریه‌ی نانوذرات $\text{BB}_y\text{L}_x\text{FO}$ در دمای اتاق.



شکل ۶ تصاویر FE-SEM برای نانوپودرهای $\text{BB}_y\text{L}_x\text{FO}$ به ازای (الف) ($y = 0,15, x = 0,10$)، (ب) ($y = 0,15, x = 0,05$) و (پ) ($y = 0,15, x = 0,10$).

جدول ۲ پارامترهای شبکه، حجم یاخته یکه و میانگین اندازه بلوک نانو پودرهای $\text{BB}_y\text{L}_x\text{FO}$

Y X	گروه فضایی	پارامترهای شبکه (Å)		حجم یاخته یکه (Å)		میانگین اندازه بلوک (Å)
		R3C	P4mm	R3c	P4mm	
$y = 0,15$ $x = 0,10$	R3c	$a = 5,5692$ $b = 5,5692$ $c = 13,8474$	-----	$371,95$	-----	$240,10$
$y = 0,15$ $x = 0,05$	R3c+P4mm	$a = 5,6373$ $b = 5,6373$ $c = 13,6742$	$a = 2,7895$ $b = 2,7895$ $c = 3,9659$	$376,33$	$30,859$	$256,7$
$y = 0,15$ $x = 0,05$	R3c+P4mm	$a = 5,6229$ $b = 5,6229$ $c = 13,6548$	$a = 2,7847$ $b = 2,7847$ $c = 3,9524$	$374,02$	$30,397$	$240,6$
$y = 0,15$ $x = 0,10$	R3c+P4mm	$a = 5,6176$ $b = 5,6176$ $c = 13,6419$	$a = 2,7818$ $b = 2,7818$ $c = 3,9273$	$372,82$	$30,391$	$223,6$

جدول ۳ پارامترهای شبکه، حجم یاخته یکه و میانگین اندازه بلوک های نانو پودرهای $\text{BB}_y\text{L}_x\text{FO}$

Y X	گروه فضایی	پارامترهای شبکه (Å)		حجم یاخته یکه (Å)		میانگین اندازه بلوک (Å)
		R3c	I4cm	R3c	I4cm	
$y = 0,15$ $x = 0,10$	R3c+I4cm	$a = 5,5922$ $b = 5,5922$ $c = 13,6966$	$a = 3,9610$ $b = 3,9610$ $c = 3,9342$	$370,95$	$61,727$	$173,5$
$y = 0,15$ $x = 0,05$	R3c+I4cm	$a = 5,5818$ $b = 5,5818$ $c = 13,6933$	$a = 3,9503$ $b = 3,9503$ $c = 3,9238$	$369,49$	$61,231$	$172,7$
$y = 0,15$ $x = 0,10$	R3c+I4cm	$a = 5,5679$ $b = 5,5679$ $c = 13,6640$	$a = 3,9496$ $b = 3,9496$ $c = 3,9174$	$366,86$	$61,109$	$170,2$

خواص مغناطیسی

برای بررسی خواص مغناطیسی نانو پودرهای BB_yL_xFO منحنی پسماند آنها در دمای اتاق و در میدان مغناطیسی $T = 1/9$ اندازه‌گیری و در شکل ۸ ترسیم شده است.

بر خلاف BFO که یک پادفرومغناطیس بدون منحنی پسماند است [۲۱، ۲۰]، در اینجا با مقادیر غیر صفر مغناطش مانده (M_r) و میدان وادارندگی (H_c) روبرو هستیم. پارامترهای مغناطیسی حاصل از منحنی پسماند، در جدول ۴ آورده شده‌اند. نتایج نشان می‌دهد که تمامی نمونه‌ها رفتار فرومغناطیسی دارند و تا میدان مغناطیسی $T = 1/9$ ، تقریباً به اشباع رسیده‌اند. تغییر در رفتار مغناطیسی این ترکیبات می‌تواند وابسته به سه فرایند مستقل باشد. (الف) همنهشتی مواد در ابعاد نانو که منجر به کامل نشدن دوره تناوب ساختار مارپیچی می‌شود ($\lambda = 62$ nm) و در نتیجه مقدار مغناطش غیر صفری در اثر این فرایند باقی می‌ماند و منجر به رفتار فرومغناطیسی در این ترکیبات می‌شوند (ب) فرونشانی و تخریب ساختار اسپین چرخان و تغییر ساختار اسپینی ناشی از واپیچش شبکه که باعث بالارفتن خاصیت مغناطیسی می‌شود (ج)، پس از تشکیل ساختار اسپینی جدید، تغییر در فاصله و زاویه پیوندهای $Fe^{+4}-O-Fe^{+3}$ و $Fe^{+3}-O-Fe^{+3}$ که به ترتیب برهمکنش‌های پادفرومغناطیس و فرومغناطیس هستند، می‌تواند در تضعیف و تقویت خواص مغناطیسی نقش داشته باشد [۲۲]

افزایش مغناطش ناشی از سنتز مواد در ابعاد نانو، از مقایسه منحنی پسماند وابسته به نمونه‌ی $Bi_{0.85}Ba_{0.15}FeO_3$ در این پژوهش که در ابعاد نانو تهیه شده است، و منحنی پسماند این ترکیب که در ابعاد میکرو سنتز شده است [۹]، قابل استنتاج است. اما افزایش خاصیت فرومغناطیدگی ناشی از جانشانی باریم در BFO می‌تواند ناشی از تخریب ساختار اسپین چرخان و ایجاد برهمکنش فرومغناطیسی $Fe^{+4}-O-Fe^{+3}$ در اثر تبدیل بعضی یون‌های Fe^{+3} به Fe^{+4} که ناشی از جانشانی یون لantanیوم Ba^{+2} به جای یون سه ظرفیتی Bi^{+3} است. در ادامه برای بالا بردن بیشتر خواص مغناطیسی، یون‌های لantanیوم را به جای یون‌های بیسموت جانشانی کردیم. چنانکه از شکل ۸ برداشت می‌شود، با جانشانی لantanیوم به میزان $x = 0.1$ مقدار مانده مغناطش حدود دو و نیم برابر خواهد شد. از آنجا که لantanیوم یک یون سه ظرفیتی است، بنابراین افزایش مغناطش می‌تواند ناشی از واپیچش شبکه در اثر ورود یون لantanیوم و به پیروی از آن کاهش توان

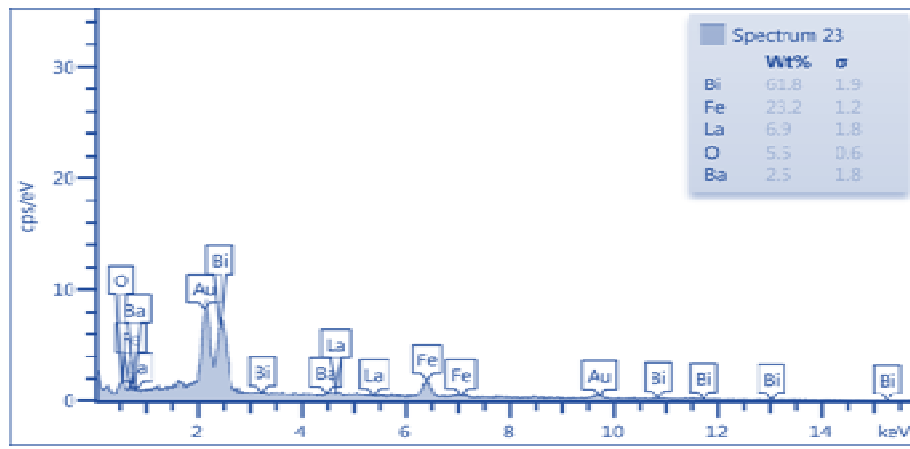
توجه به این نکته جالب است که استفاده از اتیلن گلیکول به عنوان عامل همبافت ساز نیز باعث کاهش چشمگیر اندازه ذرات، یکنواختی بیشتر توزیع اندازه ذرات می‌شود. به عبارتی تفاوت در اندازه و ریخت‌شناسی به تفاوت به خواص فیزیکی حللاه از جمله گرانزوی (چسیندگی)، ثابت دی الکتریک و رسانندگی الکتریکی آن وابسته است [۱۷]. افزایش ثابت دی الکتریک، رسانندگی الکتریکی و کاهش گرانزوی حللا، قابلیت حل شدن و نفوذپذیری یون‌ها در محلول را افزایش می‌دهد که باعث افزایش اندازه ذرات می‌شود. ثابت دی الکتریک آب در دمای اتاق $80/1$ و گرانزوی آن 0.89 mPa.S است، این در حالی است که ثابت دی الکتریک و گرانزوی اتیلن گلیکول به ترتیب $37/7$ و 20 mPa.S است، بنابراین انتظار می‌رود که نمونه‌های سنتز شده در آب دارای ذرات بزرگتری باشند. کاهش ثابت دی الکتریک منجر به کم شدن قابلیت حل شدن و درجه تجزیه‌ی نمکها در محیط الکلی نسبت به محیط آبی می‌شود که این باعث غلظت کمتر لایه‌ی یونی و ضخیم‌ترشدن لایه الکتریکی حول ذرات می‌شود و نیروی دافعه الکتروستاتیکی بین ذرات را افزایش داده و از همنهشتی شدن آنها جلوگیری می‌کند و در نتیجه با افزودن اتیلن گلیکول می‌توان انتظار داشت که اندازه‌ی ذرات کوچکتر شوند [۱۸، ۱۹].

بررسی EDAX

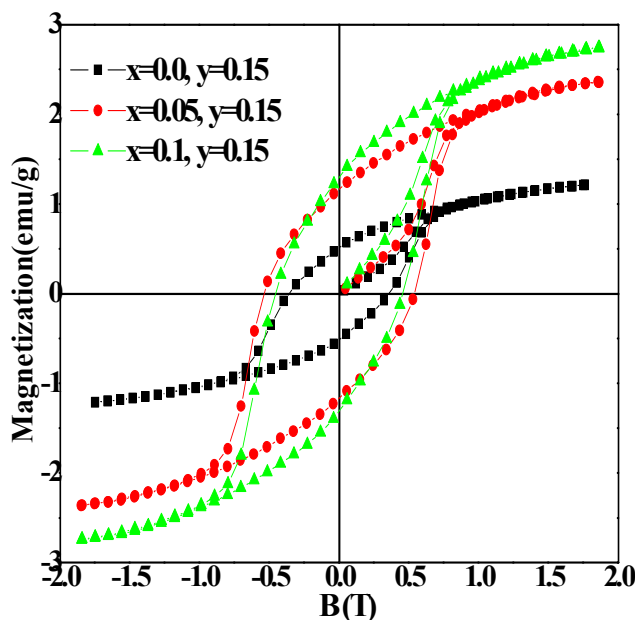
بررسی EDAX برای نانو پودر $BB_{0.15}L_{0.1}FO$ در شکل ۷ به نمایش گذاشته شده است، هر یک از قله‌های نشان داده شده در این نمودار، به یک اتم خاص اختصاص دارد. قله‌های با ارتفاع بیشتر به معنی غلظت بیشتر عنصر مورد نظر در نمونه است و حضور لantanیوم و باریم به خوبی در ساختار نمونه اثبات شده و نشان می‌دهد فراوردها از درجه‌ی خلوص بالایی برخوردارند و یک ترکیب تک فاز و بدون ناخالصی داریم که، با نتایج حاصل از آنالیز XRD همخوانی دارد. همچنین قله‌ی Au (طلاء) به پوشش دهی نمونه برای بررسی میکروسکوپیکی FE-SEM در شکل مشخص است. تفاوت کمی که در درصدهای وزنی گزارش شده در نمودار، با آنچه که در ترکیب داریم وجود دارد، با توجه به اینکه دستگاه مدرج نیست، قابل توجیه است. چون از این بررسی کیفی، نمی‌توان نتیجه کمی گرفت و فرمول شیمیایی را بدست آورد. این آنالیز تنها تاییدی بر حضور یون‌های شرکت کننده در ترکیب شیمیایی ماده‌ی مورد نظر است.

[۱۱]. در نهایت کاهش H_c می تواند ناشی از تغییر ساختار از لوزی رخ به چارگوشی در اثر جانشانی یون لانتانیوم به جای یون بیسموت باشد.

برهمکنش پادفرومغناطیسی $\text{Fe}^{+3}\text{-O-Fe}^{+3}$ و افزایش برهمکنش فرومغناطیسی $\text{Fe}^{+4}\text{-O-Fe}^{+}$ باشد. مشابه این رفتار در نانو پودرهای $\text{Bi}_{0.85-x}\text{Ba}_{0.15}\text{Er}_x\text{FeO}_3$ مشاهده شده است



شکل ۷ آنالیز EDAX نانو پودرهای $\text{Bi}_{0.85-x}\text{Ba}_{0.15}\text{La}_{0.1}\text{FeO}_3$



شکل ۸ منحنی پسماند مغناطیسی نانو ذرات BB_yL_xFO در دمای اتاق.

جدول ۴ پارامترهای مغناطیسی نانو ذرات BB_yL_xFO در دمای اتاق.

نمونه	H_C (Oe)	M_r (emu/g)	M_s (emu/g)
$y = 0.15$ $x = 0.0$	۳۵۶۷.۱	۰.۵۱۴۵	۱.۲۱۳۹
$y = 0.15$ $x = 0.05$	۵۳۷۱.۹	۱.۱۶۶	۲.۳۶۱۷
$y = 0.15$ $x = 0.10$	۴۵۵۸.۹	۱.۳۰۷۶	۲.۷۴۵۴

- [10] Wei W., Xuan H., Wang L., Zhang Y., Shen K., Wang D., Qiu T., Xu Q., *Physica B . "Structural, Magnetic, Optical and Electrical Properties of Ba Substituted BiFeO₃",* 407 (2012) 2243.
- [11] Naeimi A.S., Dehghan E., Sanavi Khoshnoud D., Gholizadeh A., *"Enhancement of ferromagnetism in Ba and Er co-doped BiFeO₃ nanoparticles", Journal of Magnetism and Magnetic Materials* 393 (2015) 502–507.
- [12] Wu Y. J., Zhang J., Chen X. K., Chen X. J., *"Phase evolution and magnetic property of powders. Solid State Communications"*, 151 (2011) 1936.
- [13] Priyadharsini P., Pradeep A., Sathyamoorthy B., Chandrasekaran G., *"Enhanced multiferroic properties in La and Ce co-doped BiFeO₃ nanoparticles"*, 75(2014)797–802.
- [14] Basiri M.H., Shokrollahi H., Isapour Gh., *"Effects of La content on the magnetic, electric and structural properties of BiFeO₃"*, Journal of Magnetism and Magnetic Materials 354 (2014) 184–189.
- [15] Andoulsi R., Horchani-Naifer K., Férid M., *"Structural and electrical properties of calcium substituted lanthanum ferrite powders, Powder Technology"*, 230 (2012) 183-187.
- [16] Cheng Z., Li A., Wang X., Dou S.X., Ozawa K., Kimura H., Zhang S., Shrout T.R., *"Structure, ferroelectric properties, and magnetic properties of the La-doped bismuth ferrite"*, Journal of Applied Physics, 103 (2008) 07E507-507E507-503.
- [17] H. L. SuY. Xie, Li B., Liu X. M., Qian Y. T., *"A novel one-step solvothermal route to nanocrystalline"*, Sn4P3, Journal of Solid State Chemistry 146(1999) 110-113.
- [18] Yu Z., Wen W., Dechang J., Feng Y., *"Synthesis of SrBi₂Ta₂O₉ nanocrystalline powder by a modified sol-gel materials Chemistry and Physics"*, 77 (2002) 60-64.
- [19] Lide D. R., CRC Handbook of Chemistry and Physics, 83rd ed, CRC press , USA, 2002-2003
- [20] Izabela Szafraniak-Wizaa, Bartłomiej Andrzejewskib, Bożena Hilczer, *"Magnetic Properties of Bismuth Ferrite Nanopowder Obtained by Mechano chemical Synthesis"*, 5, PL-60965 Poznań, Poland.
- [21] Pradhan S. k., Roul B.K., *"Improvement of multiferroic and leakage property in monophasic BiFeO₃"*, Physical B, 406 (2011) 3313.
- [22] Dey K., Majumdar S., Giri S., *"Structural correlation to magnetodielectricity and coercivity at room temperature in multiferroic Bi_{0.7}Ba_{0.3-x}Pb_xFeO₃"*, Acta Materialia 61 (2013) 379.

برداشت

نانوذرات $\text{Bi}_{1-x-y}\text{Ba}_y\text{La}_x\text{FeO}_3$ با استفاده از روش سل-ژل تهیه شدند. با جانشانی باریم یک گذار فاز ساختاری از لوزی رخ به لوزی رخ - چارگوشی در حال رخ دادن است و حجم یاخته‌ی واحد افزایش می‌یابد. در ادامه با جانشانی لانتانیوم در ترکیب $\text{BB}_{0.15}\text{L}_0\text{FO}$, ثابت‌های شبکه و حجم یاخته واحد کمی کاهش می‌یابد. آنالیز FTIR، ساختار پروسکایت این ترکیبات را تایید می‌کند. تصویرهای FE-SEM نشان می‌دهند که ترکیبات مورد بررسی در ابعاد نانومتری سنتز شده‌اند و با افزایش غلظت لانتانیوم اندازه نانوذرات کاهش یافته است. یک رفتار فرومغناطیسی با جانشانی باریم به جای بیسیمود مشاهده می‌شود. در نهایت با جانشانی لانتانیوم تا مقدار $x = 0.1$ ترکیبات $\text{BB}_{0.15}\text{L}_x\text{FO}$ مشاهده می‌شود.

مراجع

- [1] Schmid H., *"Multi-ferroic magnetoelectrics"*, Ferroelectrics, 162, pp. 317–338 1994
- [2] Schmid H., *"Some symmetry aspects of ferroics and single phase multiferroics"*, J. Phys: Cond Matter, 20, pp. 434201–434225, 2008.
- [3] Eerenstein W., Mathur N. D., Scott J. F.. *"Multiferroic and magnetoelectric materials"*, Nature, 442 (2006) 759.
- [4] Khomskii D. I., J. Magn. Magn. Mater. *"Multiferroics: different ways to combine magnetism and ferroelectricity"*, 306 (2006) 1.
- [5] Catalan G., Scott J.F., *"Physics and applications of bismuth Ferrite , Advanced Materials"*, 21 (2009) 2463-2485.
- [6] Smolensky G.A., Isupov V.A., Agronovskaya A.I., *"New ferroelectrics of complex composition of the type, $A_2^{+2}(\text{Bi}^{+2}\text{B}_{II}^{+5})\text{O}_6$ "*, Sov. Phys. Solid State, 1 pp. 150-151 (1959).
- [7] Ruette B., Zvyagin S., Pyatakov A.P., Bush A., Li J.F., Belotelov V.I., Zvezdin A.K., Viehland D., *"Magnetic field-induced phase transition in BiFeO₃ observed by high-field electron spin"*, resonance: Cycloidal to homogeneous spin order, Phys. Rev. B. 69 (2004)064114-20.
- [8] Lotey G.S., Verma. N.K., *"Multiferroism in rare earth metals-doped BiFeO₃ nanowires, Superlattices and Microstructures"*, 60(2013) 60-6.
- [9] Sunil Chauhan, Manisha Arora, Sati P.C., Sandeep Chhoker, Katyal S.C., Manoj Kumar, *"Structural, vibrational, optical, magnetic and dielectric properties of Bi_{1-x}Ba_xFeO₃ nanoparticles"*, 39 (2013) 6399–6405.